

การยึดชื่นประกอบสำหรับของไทยนิวโตเนียน



นางสาวศิริกุล บัณฑิตเสาวภาคย์

ศูนย์วิทยทรัพยากร

วิทยานิพนธ์นี้เป็นส่วนหนึ่งของการศึกษาตามหลักสูตรปริญญาวิทยาศาสตร์มหาบัณฑิต

สาขาวิชาการคณนา ภาควิชาคณิตศาสตร์

คณะวิทยาศาสตร์ จุฬาลงกรณ์มหาวิทยาลัย

ปีการศึกษา 2546

ISBN 974-17-5111-7

ลิขสิทธิ์ของจุฬาลงกรณ์มหาวิทยาลัย

ELEMENT STRETCHING FOR A NEWTONIAN FLUID

Miss Sirikul Bunditsaovapak

ศูนย์วิทยบรังษย
จุฬาลงกรณ์มหาวิทยาลัย

A Thesis Submitted in Partial Fulfillment of the Requirements
for the Degree of Master of Science in Computational Science

Department of Mathematics

Faculty of Science

Chulalongkorn University

Academic Year 2003

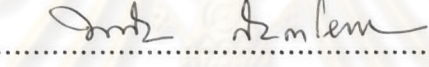
ISBN 974-17-5111-7

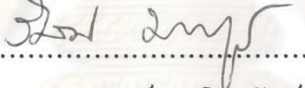
หัวข้อวิทยานิพนธ์ การยึดชื่นประกอบสำหรับของไอลนิวโทเนียน
โดย นางสาวศิริกุล บัณฑิตเสาวภาคย์
สาขาวิชา วิทยาการคอมนา
อาจารย์ที่ปรึกษา ผู้ช่วยศาสตราจารย์ ดร.วิมลรัตน์ งามอร่ามวงศ์

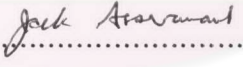
คณะวิทยาศาสตร์ จุฬาลงกรณ์มหาวิทยาลัย อนุมัติให้นับวิทยานิพนธ์ฉบับนี้เป็นส่วนหนึ่ง
ของการศึกษาตามหลักสูตรปริญญาบัณฑิต


..... คณบดี คณะวิทยาศาสตร์
(ศาสตราจารย์ ดร.เพียร์ยา ก.เมนะเศวต)

คณะกรรมการสอบวิทยานิพนธ์


..... ประธานกรรมการ
(ผู้ช่วยศาสตราจารย์ ดร.พรชัย สารวิภา)


..... อาจารย์ที่ปรึกษา
(ผู้ช่วยศาสตราจารย์ ดร.วิมลรัตน์ งามอร่ามวงศ์)


..... กรรมการ
(รองศาสตราจารย์ ดร.จักร อัศวนันท์)


..... กรรมการ
(ผู้ช่วยศาสตราจารย์ ดร.อนุสรณ์ ชนวีระบุตร)

จุฬาลงกรณ์มหาวิทยาลัย

ศรีกุล บัณฑิตเสาวภาคย์ : การยืดชิ้นประกอบสำหรับของไหลนิวโนเนียน. (ELEMENT STRETCHING FOR A NEWTONIAN FLUID) อ.ที่ปรึกษา: ผู้ช่วยศาสตราจารย์ ดร. วินครัตน์ งานอร่ามภรากร, 108 หน้า. ISBN 974-17-5111-7.

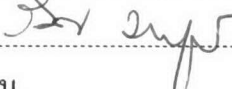
วิทยานิพนธ์ฉบับนี้นำเสนอปัญหาการยืดชิ้นประกอบสำหรับของไหลนิวโนเนียน โดยใช้ระเบียบวิธีชิ้นประกอบอันตะ และใช้หลักการเช้มิominพล芝ิทเทyle' เลอร์ก้าเลอร์คินเพรสเซอร์คอร์เรคชัน มาหาผลเฉลย ภายใต้ข้อสมมติฐานที่ว่าของไหลไม่มีการบีบอัดตัว ไม่เข็นกับแรงโน้มถ่วงของโลกและเป็นกรณีที่ไม่เข็นกับอุณหภูมิ

ลักษณะของโครงข่ายที่มีความละเอียดและความอัตราการ โอนเยียงสูง สามารถอธิบายพฤติกรรมการยืดได้ดี ในที่นี้จะแสดงการเปลี่ยนแปลงค่าความเร็ว ความดัน ความเกิน อัตราการเฉือนที่เกิดจาก การเปลี่ยนอัตราการดึงขึ้นไปได้สูงถึงค่าความเครียดเฉนคีร์ ๖ เท่ากับ 1.92

สร้างโปรแกรมสำหรับการจำลองปัญหาในระบบพิกัดทรงกระบอก 2 มิติ โดยประยุกต์ใช้เทคนิคการปรับโครงข่ายและการประมาณค่าในช่วง เพื่อเพิ่มความถูกต้องของผลเฉลยที่ให้ผลลัพธ์มีลักษณะทำงานองเดียวกับผลการทดลองของนักวิจัยอื่นที่ได้ทำมาแล้ว

ศูนย์วิทยทรัพยากร จุฬาลงกรณ์มหาวิทยาลัย

ภาควิชา คณิตศาสตร์
สาขาวิชา วิทยาการคอมพิวเตอร์
ปีการศึกษา 2546

ลายมือชื่อนิสิต ศรีกุล บัณฑิตเสาวภาคย์
ลายมือชื่ออาจารย์ที่ปรึกษา 
ลายมือชื่ออาจารย์ที่ปรึกษาร่วม

4472423123 : MAJOR COMPUTATIONAL SCIENCE

KEY WORD: FINITE ELEMENT / FILAMENT STRETCHING / LIQUID BRIDGE

SIRIKUL BUNDITSAOVAPAK : ELEMENT STRETCHING FOR A NEWTONIAN FLUID. THESIS ADVISOR : Asst. VIMOLRAT NGAMARAMVARANGGUL, Ph.D. 108 pp. ISBN 974-17-5111-7.

This thesis presents the element-stretching problem for Newtonian fluid by finite element methods (FEM) under the semi-implicit Taylor-Galerkin pressure correction principle. The assumptions of incompressible fluid, no gravitational effect, and temperature independence are used.

The configuration of mesh, which is elaborately and dominantly biased, can reflect pure stretching behavior. The variation of velocities, pressure, stresses, shear rate and extension rate is showed until Hencky strain ε up to 1.92

The simulation programme has been constructed to compute the problem in two dimensional cylindrical coordinate system by using remeshing and interpolating techniques for increased accuracy of solutions. It is found that the trend of the results approaches to experimental data.

ศูนย์วิทยบรังษยการ จุฬาลงกรณ์มหาวิทยาลัย

Department Mathematics
 Field of study Computational Science
 Academic Year 2003

Student's signature Sirikul Bunditsaovapak.
 Advisor's signature V. Ngamaramvaranggul
 Co-advisor's signature

กิตติกรรมประกาศ

ผู้วิจัยขอกราบขอบพระคุณ ผู้ช่วยศาสตราจารย์ ดร.วินครัตน์ งามอรร่านารังสูร อาจารย์ที่ปรึกษาวิทยานิพนธ์ ที่ท่านได้กรุณาให้ความรู้และคำแนะนำ ตลอดการทำวิจัย รวมทั้ง ตรวจสอบด้านภาษาที่ใช้ในการเขียนวิทยานิพนธ์

ขอกราบขอบพระคุณ ผู้ช่วยศาสตราจารย์ ดร.พรชัย สารવราหา ประธานกรรมการ รองศาสตราจารย์ ดร.จักษ์ อศวนันท์ และ ผู้ช่วยศาสตราจารย์ ดร.อนุสรณ์ ชนวีระยุทธ กรรมการ ที่ได้ให้ที่ให้คำปรึกษาและการช่วยเหลือตลอดระยะเวลาในการทำงานวิจัยนี้ ซึ่งทำให้ วิทยานิพนธ์ฉบับนี้มีความสมบูรณ์มากยิ่งขึ้น

ขอขอบพระคุณ สถาบันเทคโนโลยีพระจอมเกล้าเจ้าคุณทหารลาดกระบัง ที่ สนับสนุนทุนการศึกษาและทำการวิจัย (ทุนผลิตและพัฒนาอาจารย์สาขาวิชาคడคน)

ขอขอบพระคุณ ศาสตราจารย์ ดร.ปราโมทย์ เดชะอมาไฟ ที่เป็นแรงผลักดันให้ สนใจงานวิจัยทางระบบทิวทีนประกอบอันตะ และอนุญาตให้เข้าร่วมฟังสัมมนาต่างๆ ที่ทาง ภาควิชาวิศวกรรมศาสตร์ได้จัดขึ้น ขอขอบคุณ คุณสุทธิศักดิ์ พงศ์ธนาพาณิช อาจารย์นิพนธ์ วรรณ โถภาคย์ ที่เสียสละเวลาให้คำแนะนำอย่างมาก ขอขอบคุณ คุณสายธาร เทนอิสสระ ที่ช่วยให้ คำปรึกษาตั้งแต่เริ่มทำการวิจัย ตลอดจนขอขอบคุณเพื่ฯ สมาชิกในห้องปฏิบัติการวิจัยกลศาสตร์การ คำนวณทุกท่าน ที่ให้คำแนะนำและกำลังใจตลอดเวลาการทำงานวิจัยนี้

ขอขอบพระคุณ รองศาสตราจารย์ ดร. ณรงค์ฤทธิ์ สมบัติสมภพ ผู้ช่วย ศาสตราจารย์ ดร.ปุ่มยศ วัลลิกุล ผู้ช่วยศาสตราจารย์ ดร. อุดมเกียรติ นนทแก้ว คุณสว่างทิตย์ ศรี กิจสุวรรณ คุณยอดชาย เตียงเป็น คุณนิวัตร มูลป่า ที่เสียสละเวลาให้คำแนะนำโดยตลอด ขอขอบพระคุณ คุณวีระชาติ นวรุ่งเรือง เป็นอย่างสูงที่ให้คำแนะนำ และให้ความช่วยเหลือ รวมทั้ง ช่วยตรวจสอบความถูกต้องของโปรแกรม นอกจากนี้ขอขอบคุณสมาชิกศูนย์วิจัยวิศวกรรมคำนวณ ขึ้นสูงและผู้อื่นที่ไม่สามารถถกถ่วงได้ทั้งหมด ที่ให้คำแนะนำและกำลังใจตลอดเวลาการทำงานวิจัยนี้

ท้ายสุดนี้ผู้วิจัยขอกราบขอบพระคุณบิความร้าที่ให้คำปรึกษา เป็นกำลังใจและ สนับสนุนการศึกษาของผู้วิจัยมาโดยตลอด อนึ่งประโยชน์และคุณค่าอันใดที่ได้รับจากวิทยานิพนธ์ นี้ขอขอบเป็นกตัญญูชาแด่บิความร้า ครูอาจารย์ ตลอดจนผู้มีพระคุณทุกท่าน

สารบัญ

บทที่	หน้า
บทคัดย่อภาษาไทย	๑
บทคัดย่อภาษาอังกฤษ	๑
กิตติกรรมประกาศ	๒
สารบัญ	๓
สารบัญภาพ	๔
สารบัญตาราง	๕
บทที่ 1 บทนำ	๑
1.1 ความสำคัญและที่มา	๑
1.2 วัตถุประสงค์	๔
1.3 วิธีการดำเนินงานและขอบเขต	๔
1.4 ประโยชน์ที่ได้รับ	๔
บทที่ 2 สมการควบคุมและทฤษฎีทางรีโอลาย	๕
2.1 สมการควบคุม	๖
2.1.1 สมการเชิงอนุพันธ์ของการอนุรักษ์มวล	๖
2.1.2 สมการเชิงอนุพันธ์ของการอนุรักษ์โมเมนตัม	๗
2.1.3 ระบบสมการ ไร์ชันน์วาย	๘
2.2 พิกัดขั้นวัสดุและการวัดค่าทางด้านรีโอลาย	๙
2.2.1 การไอลแบบเฉือนอย่างง่าย	๑๐
2.2.2 การไอลแบบยีด	๑๒
2.2.3 อัตราเฉือนและอัตราการยึดคง	๑๔
บทที่ 3 ระเบียบวิธีเชิงตัวเลข	๑๖
3.1 ระเบียบวิธีผลต่างอันตะ	๑๖
3.2 ระเบียบวิธีชันประกอบอันตะ	๑๙
3.2.1 ระเบียบวิธีชันประกอบอันตะใน ๑ มิติ	๑๙
3.2.2 ระเบียบวิธีชันประกอบอันตะใน ๒ มิติ	๒๓
3.3 ระเบียบวิธีเทอร์-กาเลอร์คิน	๒๘

สารบัญ (ต่อ)

๙

บทที่	หน้า
3.4 เทคนิคการหาคำตอบของระบบสมการเชิงเส้น.....	40
3.4.1 ระเบียบวิธีการทำข้าจ้าโคลปี.....	40
3.4.2 เทคนิคการทำข้าแก๊สไซเดล.....	42
3.4.3 เอสโอลาร์.....	43
3.5 เทคนิคอื่นๆ ที่ช่วยในการคำนวณ.....	44
3.5.1 หลักการเพ็นนัลที.....	44
3.5.2 หลักการประมาณค่าพื้นที่แก๊สเซียน.....	44
3.5.3 เกรเดียนต์ริกฟ์เวอรี.....	45
3.5.4 การปรับโครงข่าย.....	46
3.5.5 การประมาณภายในช่วง.....	49
3.6 ตำแหน่งผิวอิสระ.....	50
3.6.1 การส่งเชิงวงรี.....	50
3.6.2 ระเบียบวิธีการทำนายที่เขียนกับเวลา.....	51
3.7 การอนุรักษ์ปริมาตร.....	52
3.8 เกณฑ์การลู่เข้า.....	53
บทที่ 4 การประยุกต์ระเบียบวิธีขั้นประกอบอันตะกับปัญหาการยึดชิ้นประกอบของของไฟล์ นิวโทเนียน.....	54
4.1 การกำหนดปัญหา.....	54
4.1.1 ลักษณะของปัญหา.....	54
4.1.2 เพื่อนใจรึ่นตัน.....	55
4.1.3 เพื่อนใจขอน.....	56
4.1.4 พารามิเตอร์ของวัสดุ.....	59
4.1.5 ปัญหาที่นำมาศึกษา.....	59
4.2 วิธีการคำนวณเชิงตัวเลข.....	61
4.2.1 ขั้นตอนการดำเนินงานโปรแกรม.....	61
4.2.2 โปรแกรม GENGRID.....	61
4.2.3 การดำเนินงานโปรแกรม FILAMENT_NEWTIONIAN.....	63
4.3 ผลที่ได้จากการคำนวณ.....	63

บทที่		หน้า
	4.3.1 ตรวจสอบและเปรียบเทียบผลกระทบของโครงข่ายแบบต่างๆ ตาม กรณีศึกษา.....	63
	4.3.2 ลักษณะการเปลี่ยนแปลงค่าต่างๆ คำนวณ ได้จากยึดตัวของฟิลาเมนต์ ..	70
บทที่ 5 บทสรุป.....		91
	5.1 ข้อสรุปที่สำคัญจากการวิจัย.....	91
	5.2 ข้อจำกัดของงานวิจัย.....	91
	5.3 ข้อเสนอแนะและแนวทางการศึกษาต่อไป.....	93
เอกสารอ้างอิง.....		94
ภาคผนวก.....		98
	ภาคผนวก ก รายละเอียดขั้นตอนการทำงานของโปรแกรม GENGRID	99
	ภาคผนวก ข รายละเอียดขั้นตอนการทำงานของโปรแกรม FILAMEN_NEWTONIAN.....	102
ประวัติผู้เขียนวิทยานิพนธ์.....		108

ศูนย์วิทยทรัพยากร จุฬาลงกรณ์มหาวิทยาลัย

สารบัญภาพ

หน้า

รูปที่ 2.1	แสดงการเปรียบค่าความเด่นเชื่อมของของไอลชนิดต่างๆ	11
รูปที่ 2.2	แสดงการเปรียบเทียบแรงตึงของของไอลชนิดต่างๆ	12
รูปที่ 3.1	การแบ่งโดเมนออกเป็นชิ้นประกอบอย่างๆ ซึ่งมีลักษณะเป็นกริดที่สม่ำเสมอ	17
(ก)	โดเมนออกเป็นชิ้นประกอบอย่างๆ	17
(ข)	ลักษณะพิกัดโนด	17
รูปที่ 3.2	การแบ่งโดเมนออกเป็นชิ้นประกอบอย่างๆ แบบเชิงเส้นในปัญหา 1 มิติ	19
รูปที่ 3.3	การหาจุดเชื่อมในดของแต่ละชิ้นประกอบ	20
รูปที่ 3.4	แสดงค่าต่างๆ ของแต่ละชิ้นประกอบ โดยทำการแปลงจากแกน x ไปยังแกน ξ	20
(ก)	พิจารณาที่แกน x	20
(ข)	พิจารณาที่แกน ξ	20
รูปที่ 3.5	แสดงฟังก์ชันรูปร่างที่ใช้ในการประมาณค่าในช่วงแบบเชิงเส้น	21
(ก)	พิจารณาที่โนด 1	21
(ข)	พิจารณาที่โนด 2	21
รูปที่ 3.6	การกระจัดเชิงเส้นภายในชิ้นประกอบที่ตำแหน่งต่างๆ	22
รูปที่ 3.7	รูปร่างของชิ้นประกอบที่เป็นแบบชิ้นประกอบรูปสามเหลี่ยม	23
รูปที่ 3.8	รูปแสดงในดของชิ้นประกอบรูปสามเหลี่ยมในการประมาณแบบเชิงเส้น	24
รูปที่ 3.9	การแปลงชิ้นประกอบรูปสามเหลี่ยมในการประมาณแบบเชิงเส้นให้อยู่ในแกนหลัก	24
รูปที่ 3.10	รูปแสดงในดของชิ้นประกอบรูปสามเหลี่ยมในการประมาณแบบกำลังสอง	25
รูปที่ 3.11	การแปลงชิ้นประกอบรูปสามเหลี่ยมในการประมาณแบบกำลังสองให้อยู่ในแกนหลัก	25
รูปที่ 3.12	การเปลี่ยนแปลงรูปร่างของโดเมนตามแนวแกนและแนวรัศมี	46
(ก)	โดเมนเริ่มต้น	46
(ข)	โดเมนหลังการยืด	46
รูปที่ 3.13	แสดงรูปร่างที่เปลี่ยนไปของพลา เมนต์ที่ยังคงการอนุรักษ์ปริมาตร	47
รูปที่ 3.14	การเปลี่ยนค่าพิกัด z ที่โนดต่างๆ ขณะยืด	47
รูปที่ 3.15	การเปลี่ยนค่าพิกัด r ที่โนดต่างๆ ขณะยืด	48

สารบัญภาพ (ต่อ)

มี

หน้า

รูปที่ 3.16 แสดงการแบ่งชั้นประกอบออกเป็นรูปสามเหลี่ยมอยู่	49
รูปที่ 3.17 แสดงตำแหน่งของผิวอิสระที่เปลี่ยนไปจากการประมาณด้วยการสังเขิงวิธี	50
รูปที่ 3.18 การแบ่งโดเมนขณะยึดออกเป็นกรวยตัดยอดอย่างๆ	53
รูปที่ 4.1 รีโอมิตเตอร์	54
(ก) แบบที่ 1	54
(ข) แบบที่ 2	54
รูปที่ 4.2 แสดงลักษณะการยึดของ Hind	55
รูปที่ 4.3 แสดงโดเมนของปัญหาเป็นเพียง 1 ใน 4 ของบริเวณทั้งหมด	56
รูปที่ 4.4 แสดงตำแหน่งและความหมายของตัวแปรที่ผิวอิสระ	57
รูปที่ 4.5 แสดงรากเม็ดความคงของผิวอิสระ	58
รูปที่ 4.6 รูปร่างของปัญหาและเงื่อนไขขอบของปัญหาการยึดพิลาเมนต์สำหรับของ Hind นิวโน่เนียน	58
รูปที่ 4.7 รูปแสดงการแบ่งชั้นประกอบแบบต่างๆ ตามกรณีศึกษา	60
(ก) แบบ 2x3 uniform	60
(ข) แบบ 3x5 uniform	60
(ค) แบบ 4x7 uniform	60
(ง) แบบ 4x7 bias	60
รูปที่ 4.8 แสดงการเรียงลำดับของเลขชั้นประกอบและเลขโนด	62
รูปที่ 4.9 จุดเชื่อมโนด	62
(ก) ชั้นประกอบที่ 14	62
(ข) ชั้นประกอบที่ 19	62
รูปที่ 4.10 แสดงการเปรียบเทียบของผิวอิสระ $r(z)$ ของโครงข่ายแบบต่างๆ กับผลที่ได้จาก การคำนวณของ Chandio et al.	65
(ก) ค่าความเครียดเยนคีร์ เป็น 0.32	65
(ข) ค่าความเครียดเยนคีร์ เป็น 1.60	65
รูปที่ 4.11 แสดงการเปรียบเทียบค่า R_{min} ของโครงข่ายแบบต่างๆ กับผลเฉลยแบบยึดตึง ทางเดียว และผลเฉลยเชิงวิเคราะห์ที่ค่าความเครียดเยนคีร์ต่างๆ ตลอดการยึด	66

สารบัญภาพ (ต่อ)

หน้า

รูปที่ 4.12	แสดงการเปรียบเทียบค่าความเร็วในแนวแกน r ที่ผิวอิสระจากโครงข่ายทั้ง 4 แบบ กับผลเฉลยเชิงวิเคราะห์	68
	(ก) ค่าความเครียดเน้นคีร์ เป็น 0.32	68
	(ข) ค่าความเครียดเน้นคีร์ เป็น 1.60	68
รูปที่ 4.13	แสดงการเปรียบเทียบค่าความเร็วในแนวแกน z ที่เส้นตรงกลาง ($r = 0$) จากโครงข่ายทั้ง 4 แบบกับผลเฉลยเชิงวิเคราะห์	69
	(ก) ค่าความเครียดเน้นคีร์ เป็น 0.32	69
	(ข) ค่าความเครียดเน้นคีร์ เป็น 1.60	69
รูปที่ 4.14	แสดงลักษณะการเปลี่ยนแปลงรูปร่างของฟิลามเอนต์แบบ 4×7 bias	70
รูปที่ 4.15	แสดงความเร็วในแนวแกน r ที่ค่าความเครียดเน้นคีร์ต่างๆ	72
รูปที่ 4.16	แสดงการเปรียบเทียบความเร็วในแนวแกน r ตลอดผิวอิสระกับผลเฉลยเชิงวิเคราะห์ที่แต่ละค่าความเครียดเน้นคีร์	73
รูปที่ 4.17	แสดงการเปรียบเทียบความเร็วในแนวแกน r ตลอดผิวอิสระกับผลเฉลยเชิงวิเคราะห์ที่ค่าความเครียดเน้นคีร์ต่างๆ	74
รูปที่ 4.18	แสดงความเร็วในแนวแกน z ที่ค่าความเครียดเน้นคีร์ต่างๆ	76
รูปที่ 4.19	แสดงการเปรียบเทียบความเร็วในแนวแกน r ที่ตำแหน่งเส้นตรงกลาง ($r = 0$) กับผลเฉลยเชิงวิเคราะห์ที่แต่ละค่าความเครียดเน้นคีร์	77
รูปที่ 4.20	แสดงการเปรียบเทียบความเร็วในแนวแกน r ที่ตำแหน่งเส้นตรงกลาง ($r = 0$) กับผลเฉลยเชิงวิเคราะห์ที่ค่าความเครียดเน้นคีร์ต่างๆ	78
รูปที่ 4.21	แสดงความดันที่ค่าความเครียดเน้นคีร์ต่างๆ	79
รูปที่ 4.22	การยืดดึงทางเดียวในอุดมคติ	80
รูปที่ 4.23	แสดงความเด่นของส่วนประกอบ g ที่ได้รับอิทธิพลจากโครงข่ายทั้ง 4 กรณี	81
รูปที่ 4.24	แสดงความเด่นของส่วนประกอบ g ที่ค่าความเครียดเน้นคีร์ต่างๆ	85
รูปที่ 4.25	แสดงความเด่นของส่วนประกอบ rz ที่ค่าความเครียดเน้นคีร์ต่างๆ	86
รูปที่ 4.26	แสดงความเด่นของส่วนประกอบ zz ที่ค่าความเครียดเน้นคีร์ต่างๆ	87
รูปที่ 4.27	แสดงความเด่นของส่วนประกอบ $\theta\theta$ ที่ค่าความเครียดเน้นคีร์ต่างๆ	88

สารบัญภาพ (ต่อ)

หน้า

รูปที่ 4.28 แสดงอัตราการเจือนที่ค่าความเครียดเห็นคี๙ต่างๆ.....	89
รูปที่ 4.29 แสดงอัตราการดึงที่ค่าความเครียดเห็นคี๙ต่างๆ.....	90



ศูนย์วิทยทรัพยากร จุฬาลงกรณ์มหาวิทยาลัย

สารบัญตาราง

หน้า

ตารางที่ 3.1 ค่าจุดของเกาส์และน้ำหนักที่ใช้ประมาณค่าอินทิกรัลแบบ 4 จุด สำหรับชิ้นประกอบรูปสามเหลี่ยม	45
ตารางที่ 3.2 แสดงค่าพิกัดในแกนหลักของชิ้นประกอบรูปสามเหลี่ยมแบบ 6 โนด	46
ตารางที่ 4.1 ค่าพารามิเตอร์ของวัสดุ	59
ตารางที่ 4.2 การแบ่งโดเมนเป็นโครงข่ายที่มีความละเอียดแตกต่างกัน	59

ศูนย์วิทยทรัพยากร
จุฬาลงกรณ์มหาวิทยาลัย